



دانشکده مهندسی برق و کامپیوتر

پایان نامه کارشناسی ارشد در رشته مهندسی برق (مخابرات میدان)

طراحی و شبیه سازی آنتن های شیپوری مخروطی دو تیغه ای پهنه باند با پلاریزاسیون دوگانه

توسط

مریم مشیری

استاد راهنما

دکتر حبیب الله عبیری

تیرماه ۱۳۸۸

بِسْمِ اللَّهِ الرَّحْمَنِ الرَّحِيمِ

به نام خدا

طراحی و شبیه سازی آنتن های شیپوری مخروطی دو تیغه ای پهنه باند با پلاریزاسیون
دوگانه

به کوشش:
مریم مشیری

پایان نامه
ارایه شده به تحصیلات تکمیلی دانشگاه شیراز به عنوان بخشی
از فعالیت های تحصیلی لازم برای اخذ درجه کاوشناصی ارشد

در رشته‌ی
مهندسی برق-مخابرات گرانیش میدان
از دانشگاه شیراز

شیراز
جمهوری اسلامی ایران

ارزیابی کمیته‌ی پایان نامه با درجه: عالی

دکتر حبیب الله عبیری استاد بخش الکترونیک و مخابرات (رئیس کمیته)
دکتر فرزاد مهاجری استادیار بخش الکترونیک و مخابرات
دکتر عباس علی قنبری استادیار بخش الکترونیک و مخابرات

تیرماه ۸۸

به نام خدا

اظهارنامه

اینجانب مریم مشیری (۸۵۳۸۱۵) دانشجوی رشته مهندسی برق-مخابرات گرایش صیدان دانشکده برق و کامپیوتر اظهار می کنم که این پایان نامه حاصل تحقیق خودم بوده و در جاهایی که از منابع دیگران استفاده کرده ام، نشانی دقیق و مشخصات کامل آنها را نوشته ام. همچنین اظهار می کنم که پایان نامه و موضوع پایان نامه ام تکراری نیست و تهدید می نمایم که بدون مجوز دانشگاه دستاوردهای آن را منتشر ننموده و یا در اختیار غیر قرار ندهم. کلیه حقوق این اثر مطابق با این آیین نامه مالکیت فکری و معنوی متعلق به دانشگاه شیراز است.



مریم مشیری

بنام بهترین یاور جاودانه ام که حیاتم بخشد و کلامم آموخت
و ستایش که تمام موفقیتهايم را مدیون مهر بی پایان اویم

تقدیم به روح مادرم،

که یادش همیشه مایه آرامشم بود،

و

با سپاس از پدر،

یکتا ترانه زندگی ام، که اميد را
هر لحظه در ذهنم زنده نمود،

و نازنین برادر و خواهرم

که دشواریهايم با وجودشان همیشه آسان است.

سپاسگزاری

حمد و ثناء، خداوندی را سزا داشت که نعمت‌های بی‌دریغش را به ما کرامت فرموده است و زبان از شکر آن‌ها قاصر است.

با سپاس و ستایش بیکران به درگاه دانای یکتا، که همواره توکل به او یاری‌دهنده راه‌های پرپیج و خم زندگیم بوده است و وجود و نعمات بی‌پایانش را در نهایت کرم و بخشنده‌گی بر من روا داشته است.

در آغاز برخود فرض می‌دانم، تا از کلیه عزیزانی که در طول تحصیل همواره راهنمای و مشوق من بوده‌اند، تقدیر و تشکر نمایم.

از استاد راهنمای ارجمند، جناب آقای دکتر حبیب الله عبیری، که همواره مرا از دانش و اخلاق پسندیده خویش بهره‌مند ساخته‌اند و بدون راهنمایی ایشان پیمودن این مسیر ناممکن می‌نمود، کمال امتنان را دارم.

از اساتید مشاور گرامی جناب آقایان، دکتر فرزاد مهاجری و دکتر عباس علی قنبری که از نظرات و راهنمایی‌های راه‌گشای ایشان استفاده نموده‌ام، سپاسگزاری می‌نمایم.

چکیده

طراحی و شبیه سازی آنتن های شیپوری مخروطی دو تیغه ای پهن باند با پلاریزاسیون دوگانه

به کوشش

مریم مشیری

در این تحقیق، آنتن های شیپوری مخروطی دو تیغه ای با پلاریزاسیون دوگانه با گین بالا و دامنه لب های کناری پایین برای کاربردهای پهن باند استفاده می شود. آنتن های طراحی شده VSWR پایینی دارند که برای دو باند ۸-۱۸ گیگاهرتز و ۲-۱۸ گیگاهرتز کمتر از $\frac{2}{5}$ می باشد و گین بالا برای مؤلفه های افقی و عمودی به طور همزمان بدست می آید. در قسمت باریک شده از امپدانس نمایی و از کابل کواکس به عنوان ورودی و یک محفظه پشتی دایروی برای کاهش VSWR استفاده شده است. آنتن طراحی شده در باند ۸-۱۸ گیگاهرتز، از دو نرم افزار CST که بر اساس روش انتگرال محدود و HFSS که بر المان محدود استوار است، شبیه سازی شده است. نتایج دو شبیه سازی، سازگاری خوبی با یکدیگر دارند. ماده دی الکترونیک استفاده شده در این تحقیق، استیروフォم با $\epsilon_r = 1.03$ استفاده شده است. بهترین نتیجه برای فاصله بین تیغه ها به ازای $\lambda/4$ که طول موج در فرکانس میانی می باشد، بدست آمده است. نتایج شبیه سازی با تئوری کاملاً تطابق دارد. نتایج شبیه سازی برای VSWR، الگوهای تشعشعی و گین آنتن های طراحی شده در باند های فرکانسی ۸-۱۸ گیگاهرتز و ۲-۱۸ گیگاهرتز ارائه و مورد بررسی قرار گرفته است.

فهرست مطالب

عنوان	صفحه
۱- مقدمه	۱
۱-۱ مقدمه	۲
۱-۲ کلیات	۳
۲- خصوصیات تشعشعی آنتن های شیپوری مخروطی	۵
۱-۲ مقدمه	۶
۲-۲ توصیف آنتن شیپوری مخروطی	۷
۲-۳ آنتن های شیپوری مخروطی بهینه	۱۱
۴- سطح مؤثر آنتنهای شیپوری مخروطی	۱۴
۵-۲ میدان های الکترومغناطیسی آنتن های شیپوری مخروطی	۱۶
۱-۵-۲ مقدمه	۱۶
۲-۵-۲ میدان های الکترومغناطیسی در موجبردایروی	۱۷
۳-۵-۲ تطبیق امپدانس در موجبر مخروطی	۲۱
۴-۵-۲ تشعشع از آنتن شیپوری مخروطی	۲۲
۶-۲ مدهای انتشاری در آنتن های شیپوری مخروط	۲۷
۷-۲ جهت دهی آنتن های شیپوری مخروطی	۲۹
۸-۲ بهره آنتن های شیپوری مخروطی	۳۱

۳-سیستم های با پلاریزاسیون دوگانه و پلارایزر.....	۳۳
۱-۳ مقدمه.....	۳۴
۱-۱-۳ مفهوم پلاریزاسیون.....	۳۴
۲-۱-۳ مفهوم پلاریزاسیون در آنتن ها.....	۳۷
۳-۱-۳ مفهوم پلاریزاسیون دوگانه.....	۳۹
۲-۳ مزیت سیستم های با پلاریزاسیون دوگانه.....	۴۰
۱-۲-۳ مزیت پلاریزاسیون دوگانه در سیستم های رادار	۴۱
۲-۲-۳ مزیت پلاریزاسیون دوگانه در سیستم های مخابراتی.....	۴۲
۳-۲-۳ معایب سیستم های راداری با پلاریزاسیون دوگانه.....	۴۲
۳-۳ پلارایزرها.....	۴۵
۱-۳-۳ مقدمه.....	۴۵
۱-۱-۳-۳ پلارایزرهای جاذب.....	۴۵
۲-۱-۳-۳ پلارایزرهای تقسیم کننده پرتو.....	۴۶
۴-۳ پلارایزر ۴۵ درجه.....	۴۷
۵-۳ تئوری پلارایزرهای تیغه ای.....	۴۹
۶-۳ طراحی و شبیه سازی آنتن شیپوری مخروطی دو تیغه ای با پلاریزاسیون دوگانه.....	۶۳
در باند فرکانسی ۸ تا ۱۸ گیگاهرتز	
۱-۴ مقدمه.....	۶۴
۲-۴ طراحی و توصیف بخشهای مختلف آنتن.....	۶۶
۱-۲-۴ طراحی و شبیه سازی موجبر دایره ای دو تیغه ای در باند فرکانسی ۸ تا ۱۸ گیگاهرتز.....	۶۸
۲-۲-۴ طراحی بخش انتقال ازکابل هم محور به موجبر دایره ای دو تیغه ای.....	۷۲

۳-۲-۴ تعیین طول و اندازه دهانه بخش مخروطی آنتن شیپوری مخروطی.....	۷۴
۴-۲-۴ طراحی تیغه ها در بخش مخروطی آنتن.....	۷۴
۵-۲-۴ طراحی ابعاد تیغه ها و ضخامت لایه های دی الکتریک بین تیغه های پلارایزر.....	۷۸
۳-۴ نتایج شبیه سازی.....	۷۹
۵- طراحی و شبیه سازی آنتن شیپوری مخروطی.....	۱۱۰
دوتیغه ای با پلاریزاسیون دوگانه در باند فرکانسی ۲ تا ۱۸ گیگاهرتز	
۱- مقدمه.....	۱۱۱
۵- طراحی و توصیف بخش های مختلف آنتن.....	۱۱۱
۱-۲-۵ طراحی و شبیه سازی موجبر دایره ای دو تیغه ای در بازه فرکانسی ۲ تا ۱۸ گیگاهرتز.....	۱۱۳
۲-۲-۵ طراحی بخش انتقال از کابل هم محور به موجبر دایره ای دو تیغه ای.....	۱۱۷
۳-۲-۵ تعیین ابعاد بخش مخروطی آنتن شیپوری مخروطی در باند فرکانسی ۲ تا ۱۸ گیگاهرتز.....	۱۱۹
۴-۲-۵ طراحی تیغه ها در بخش مخروطی آنتن بخش باریک شونده.....	۱۲۲
۵-۲-۵ طراحی ابعاد تیغه ها و ضخامت لایه های دی الکتریک بین تیغه های پلارایزر.....	۱۲۲
۳-۵ نتایج شبیه سازی.....	۱۲۲
۶- جمع بندی و نتایج.....	۱۴۵
۱-۶ جمع بندی و نتایج.....	۱۴۶

فهرست جدول ها

عنوان	صفحة
جدول (۱-۲) سطح مؤثر آنتن‌های شیپوری مخروطی.....	۱۶
جدول (۳-۱) تلفات عدم تطبیق پلاریزاسیون به ازای θ های مختلف.....	۳۹
جدول (۴-۱) جزئیات طراحی ابعاد تیغه ها در بخش مخروطی آنتن در فرکانس میانی ۱۳ گیگا هرتز.....	۷۸
جدول (۲-۴) مشخصات الگوهای تشعشعی آنتن بدون پلارایزر.....	۸۸
جدول (۳-۴) مشخصات الگوهای تشعشعی آنتن با پلاریزاسیون..... دوگانه با مشخصات پلارایزر مرجع [۷۰] در فرکانس های مختلف	۹۴
جدول (۴-۴) مشخصات پلارایزر ۵ لایه.....	۹۶
جدول (۴-۵) مشخصات الگوهای تشعشعی آنتن با..... پلاریزاسیون دوگانه با مشخصات پلارایزر ۵ لایه جدول (۴-۴)	۱۰۲
جدول (۶-۴) مشخصات پلارایزر ۳ لایه.....	۱۰۳
جدول (۷-۴) مشخصات الگوهای تشعشعی آنتن با پلاریزاسیون دوگانه با مشخصات..... پلارایزر ۳ لایه جدول (۶-۴) در فرکانس های مختلف	۱۰۹
جدول (۱-۵) جزئیات طراحی ابعاد تیغه ها در بخش مخروطی آنتن در فرکانس میانی ۱۰ گیگا هرتز.....	۱۲۱
جدول (۲-۵) مشخصات الگوهای تشعشعی آنتن بدون پلارایز در فرکانس های مختلف.....	۱۲۸
جدول (۳-۵) مشخصات پلارایزر ۵ لایه.....	۱۳۰
جدول (۴-۵) مشخصات الگوهای تشعشعی آنتن با..... پلاریزاسیون دوگانه با مشخصات پلارایزر ۵ لایه جدول (۳-۵)	۱۳۵

جدول (۵-۵) مشخصات پلارايزر ۳ لایه..... ۱۳۷

جدول (۶-۵) مشخصات الگوهای تشعشعی آنتن با پلاريزاسیون دوگانه با مشخصات..... ۱۴۳

پلارايزر ۳ لایه جدول (۵-۵) در فرکانس های مختلف

فهرست شکل ها

عنوان	صفحه
شکل (۱-۲) آنتن شیپوری مخروطی [۲۹]	۸
شکل (۲-۲) بهره آنتنهای شیپوری مخروطی به صورت تابعی از قطر دهانه (برای یک سری از طولها) [۲۹]	۹
شکل (۳-۲) خصوصیات تشعشعی تعدادی از آنتن های شیپوری مخروطی با ابعاد متفاوت [۲۹]	۱۰
شکل (۴-۲) نمودار قطر دهانه (L) و طول (d _m) به صورت تابعی از بهره در آنتن های شیپوری مخروطی بهینه [۲۹]	۱۳
شکل (۵-۲) الگوی تشعشعی برای یک نمونه آنتن شیپوری مخروطی بهینه با بهره dB [۲۹] ۱۷/۷	۱۳
شکل (۶-۲) گراف طراحی برای رسم خصوصیات تشعشعی آنتن های شیپوری مخروطی بهینه [۲۹]	۱۴
شکل (۷-۲) سیستم مختصات برای محاسبه تشعشع [۲]	۱۹
شکل (۸-۲) الگوی تشعشعی برای شیپوری مخروطی برای زاویه بازشدگی ۲۰ درجه [۲]	۲۵
شکل (۹-۲) الگوی تشعشعی برای شیپوری مخروطی برای زاویه بازشدگی ۲۰ درجه [۲]	۲۶
شکل (۱۰-۲) الگوی تشعشعی برای شیپوری مخروطی برای زاویه بازشدگی ۲۵ درجه [۲]	۲۶
شکل (۱۱-۲) الگوی تشعشعی برای شیپوری مخروطی برای زاویه بازشدگی ۴۵ درجه [۲]	۲۷
شکل (۱۲-۲) الگوهای تشعشعی صفحه میدان مغناطیسی نرمالیزه شده آنتن شیپوری مخروطی [۴۱] [۴۱]	۲۸
شکل (۱۳-۲) الگوهای تشعشعی صفحه میدان الکتریکی نرمالیزه شده آنتن شیپوری مخروطی [۴۱] [۴۱]	۲۹
شکل (۱-۳) پلاریزاسیون خطی	۳۶
شکل (۲-۳) پلاریزاسیون دایروی	۳۶
شکل (۳-۳) پلاریزاسیون بیضوی	۳۷

۴-۳) پلارایزر جاذب شکل (۴-۳)

۴۶ شکل (۵) پلارایزر تقسیم کننده پرتو

۴۷ شکل (۶-۳) نمونه هایی از پلارایزر ۴۵ درجه [۵۱]

۴۸ شکل (۷-۳) پلارایزر چهار لایه ای و نمای ساده شده آن [۵۳]

۵۰ شکل (۸-۳) تقسیم پلارایزر چهار لایه ای به ۳ بخش اصلی [۵۳]

۵۱ شکل (۹-۳) بخش اصلی پلارایزر [۵۳]

۵۱ شکل (۱۰-۳) دو نمونه پلارایزر متقاضن دو بخشی [۵۳]

۵۳ شکل (۱۱-۳) پاسخ فرکانسی پلارایزر دو بخشی [۵۲]

۵۴ شکل (۱۲-۳) پلارایزر تیغه ای [۵۴]

۵۷ شکل (۱۳-۳) چرخنده پلاریزاسیون [۶۰]

۵۸ شکل (۱۴-۳) چرخنده پلاریزاسیون ۳ بخشی [۶۰]

۶۰ شکل (۱۵-۳) بخش اول چرخنده پلاریزاسیون [۶۰]

۶۷ شکل (۱-۴) ساختار آنتن شیپوری مخروطی دو تیغه ای با پلاریزاسیون دوگانه

۶۷ شکل (۲-۴) ساختار آنتن شیپوری مخروطی دو تیغه ای در باند فرکانسی ۸ تا ۱۸ گیگا هرتز

۶۹ شکل (۳-۴) ساختار موجبر دایره ای دو تیغه ای طراحی باند فرکانسی ۸ تا ۱۸ گیگا هرتز

۷۰ شکل (۴-۴) پارامتر انتقال TE_{11} برای مد S_{21} در موجبر بر حسب فرکانس (نرم افزار CST)

۷۱ شکل (۵-۴) پارامتر انتقال TM_{01} برای مد غیر انتشاری S_{21} در موجبر بر حسب فرکانس (نرم افزار CST)

۷۲ شکل (۶-۴) امیدانس مشخصه مد غالب انتشاری TM_{01} در موجبر بر حسب فرکانس (نرم افزار CST)

شکل (۷-۴) ساختار بخش انتقال از کابل هم محور به موجبر دایره ای دو تیغه ای ۷۴.....

به همراه محفظه پشتی استوانه ای

شکل (۸-۴) نحوه اتصال کابل هم محور به موجبر دایره ای دو تیغه ای ۷۴.....

شکل (۹-۴) اندازه ضریب انعکاس خط نمایی بر حسب طول الکتریکی (SL) ۷۶.....

شکل (۱۰-۴) تیغه های نمایی در بخش مخروطی آتن شیپوری مخروطی دو تیغه ای (نمای برش زده) ۷۸.....

شکل (۱۱-۴) ساختار یک پلا رایزر ۵ لایه (الف) نمای کناری (ب) نمای کلی ۸۰.....

شکل (۱۲-۴) بدست آمده برای آتن شیپوری مخروطی دو تیغه ای بدون پلا رایزر طراحی شده ۸۱.....

در محدوده فرکانسی ۸ تا ۱۸ گیگاهرتز (الف) نمای کناری (ب) نمای کلی

شکل (۱۳-۴) الگوهای تشعشعی آتن بدون پلا رایزر در فرکانس ۸ گیگاهرتز ۸۳.....

(الف) صفحه H (ب) صفحه E_ϕ (ج) صفحه E_θ (د) صفحه E

شکل (۱۴-۴) الگوهای تشعشعی آتن بدون پلا رایزر در فرکانس ۱۳ گیگاهرتز ۸۴.....

(الف) صفحه H (ب) صفحه E_ϕ (ج) صفحه E_θ (د) صفحه E

شکل (۱۵-۴) الگوهای تشعشعی آتن بدون پلا رایزر در فرکانس ۱۶ گیگاهرتز ۸۵.....

(الف) صفحه H (ب) صفحه E_ϕ (ج) صفحه E_θ (د) صفحه E

شکل (۱۶-۴) الگوهای تشعشعی آتن بدون پلا رایزر در فرکانس ۱۸ گیگاهرتز ۸۶.....

(الف) صفحه H (ب) صفحه E_ϕ (ج) صفحه E_θ (د) صفحه E

شکل (۱۷-۴) الگوی تشعشعی ۳ بعدی آتن بدون پلا رایزر در فرکانس ۱۳ گیگاهرتز ۸۷.....

شکل (۱۸-۴) تغییرات بهره این آتن بدون پلا رایزر بر حسب فرکانس ۸۷.....

شکل (۱۹-۴) الگوهای تشعشعی آتن با پلا رایزر با ابعاد مرجع [۷۰] در فرکانس ۸ گیگاهرتز ۸۹.....

H **E_Φ** **H** **E_Φ** **H** **E_Φ** **E** **E_Φ** **E** **E_Φ** (الف) صفحه (ب) صفحه (ج) صفحه (د) صفحه

شکل (۲۰-۴) الگوهای تشعشعی آنتن با پلازایزر با ابعاد مرجع [۷۰] در فرکانس ۱۳ گیگاهرتز ۹۰.....

H **E_Φ** **H** **E_Φ** **H** **E_Φ** **E** **E_Φ** **E** **E_Φ** (الف) صفحه (ب) صفحه (ج) صفحه (د) صفحه

شکل (۲۱-۴) الگوهای تشعشعی آنتن با پلازایزر با ابعاد مرجع [۷۰] در فرکانس ۱۶ گیگاهرتز ۹۱.....

H **E_Φ** **H** **E_Φ** **H** **E_Φ** **E** **E_Φ** **E** **E_Φ** (الف) صفحه (ب) صفحه (ج) صفحه (د) صفحه

شکل (۲۲-۴) الگوهای تشعشعی آنتن با پلازایزر با ابعاد مرجع [۷۰] در فرکانس ۱۸ گیگاهرتز ۹۲.....

H **E_Φ** **H** **E_Φ** **H** **E_Φ** **E** **E_Φ** **E** **E_Φ** (الف) صفحه (ب) صفحه (ج) صفحه (د) صفحه

شکل (۲۳-۴) الگوی تشعشعی ۳ بعدی آنتن با پلازایزر با ابعاد ۹۳.....

مرجع [۷۰] در فرکانس میانی باند ۸-۱۸ گیگاهرتز

شکل (۲۴-۴) **VSWR** بدست آمده برای آنتن شیپوری مخروطی دو تیغه ای ۹۳.....

با مشخصات ابعاد پلازایزر مرجع [۷۰] در محدوده فرکانسی ۸ تا ۱۸ گیگا هرتز

شکل (۲۵-۴) الگوهای تشعشعی آنتن با پلازایزر ۵ لایه با مشخصات جدول (۴-۴) در فرکانس ۸ گیگاهرتز ۹۷.....

H **E_Φ** **H** **E_Φ** **H** **E_Φ** **E** **E_Φ** (الف) صفحه (ب) صفحه (ج) صفحه (د) صفحه

شکل (۲۶-۴) الگوهای تشعشعی آنتن با پلازایزر ۵ لایه با مشخصات جدول (۴-۴) در فرکانس ۱۳ گیگاهرتز ۹۸.....

H **E_Φ** **H** **E_Φ** **H** **E_Φ** **E** **E_Φ** (الف) صفحه (ب) صفحه (ج) صفحه (د) صفحه

شکل (۲۷-۴) الگوهای تشعشعی آنتن با پلازایزر ۵ لایه با مشخصات جدول (۴-۴) در فرکانس ۱۶ گیگاهرتز ۹۹.....

H **E_Φ** **H** **E_Φ** **H** **E_Φ** **E** **E_Φ** (الف) صفحه (ب) صفحه (ج) صفحه (د) صفحه

شکل (۲۸-۴) الگوهای تشعشعی آنتن با پلازایزر ۵ لایه با مشخصات جدول (۴-۴) ۱۰۰.....

در فرکانس ۱۸ گیگاهرتز (الف) صفحه (ب) صفحه (ج) صفحه (د) صفحه

شکل (۲۹-۴) الگوی ۳ بعدی آنتن با پلازایزر ۵ لایه با مشخصات جدول (۴-۴) در فرکانس ۱۳ گیگاهرتز ۱۰۱

شکل (۳۰-۴)  بدست آمده برای آنتن شیپوری مخروطی دو تیغه ای با مشخصات ابعاد پلازایزر. ۱۰۱

۵ لایه جدول (۴-۴) در محدوده فرکانسی ۸ تا ۱۸ گیگا هرتز

شکل (۳۱-۴) الگوهای تشعشعی آنتن با پلازایزر ۳ لایه با مشخصات جدول (۶-۴) ۱۰۴

در فرکانس ۸ گیگاهرتز (الف)       صفحه (ب)   صفحه (ج) (د) صفحه

شکل (۳۲-۴) الگوهای تشعشعی آنتن با پلازایزر ۳ لایه با مشخصات جدول (۶-۴) ۱۰۵

در فرکانس ۱۳ گیگاهرتز (الف)       صفحه (ب)   صفحه (ج) (د) صفحه

شکل (۳۳-۴) الگوهای تشعشعی آنتن با پلازایزر ۳ لایه با مشخصات جدول (۶-۴) ۱۰۶

در فرکانس ۱۶ گیگاهرتز (الف)       صفحه (ب)   صفحه (ج) (د) صفحه

شکل (۳۴-۴) الگوهای تشعشعی آنتن با پلازایزر ۳ لایه با مشخصات جدول (۶-۴) ۱۰۷

در فرکانس ۱۸ گیگاهرتز (الف)       صفحه (ب)   صفحه (ج) (د) صفحه

شکل (۳۵-۴) الگوی تشعشعی ۳ بعدی آنتن با پلازایزر ۳ لایه با مشخصات جدول (۶-۴) ۱۰۸

در فرکانس ۱۳ گیگاهرتز

شکل (۳۶-۴)  آنتن شیپوری مخروطی دو تیغه ای با مشخصات ۱۰۸

ابعاد پلازایزر ۳ لایه جدول (۶-۴) در محدوده فرکانسی ۸ تا ۱۸ گیگا هرتز

شکل (۱-۵) ساختار آنتن شیپوری مخروطی دو تیغه ای با پلازایزیون دوگانه ۱۱۲

در باند فرکانسی ۲ تا ۱۸ گیگا هرتز

شکل (۲-۵) ساختار آنتن شیپوری مخروطی دو تیغه ای در باند فرکانسی ۲ تا ۱۸ گیگا هرتز ۱۱۳

شکل (۳-۵) ساختار موجبر دایروی دو تیغه ای طراحی شده در باند فرکانسی ۲ تا ۱۸ گیگاهرتز ۱۱۵

شکل (۴-۵) پارامتر انتقال S_{21} برای مد TE_{11} در موجبر در باند فرکانسی ۲ تا ۱۸ گیگاهرتز..... ۱۱۵

شکل (۵-۵) پارامتر انتقال S_{21} برای مد غیر انتشاری TM_{01} در موجبر..... ۱۱۶

بر حسب فرکانس(نرم افزار HFSS)

شکل (۶-۵) امپدانس مشخصه مدد غالب انتشاری TE_{11} در موجبر بر حسب فرکانس(نرم افزار HFSS)..... ۱۱۶

شکل (۷-۵) ساختار بخش انتقال از کابل هم محور به موجبر دایره ای دو تیغه ای..... ۱۱۸

به همراه محفظه پشتی مخروطی

شکل (۸-۵) نحوه اتصال کابل هم محور به موجبر دایره ای دو تیغه ای..... ۱۱۹

شکل (۹-۵) اندازه ضریب انعکاس خط نمایی بر حسب عدد فاز (BL)..... ۱۲۰

شکل (۱۰-۵) بدست آمده برای آنتن شیپوری مخروطی دو تیغه ای بدون پلارایزر..... ۱۲۳

طراحی شده در محدوده فرکانسی ۲ تا ۱۸ گیگا هرتز

شکل (۱۱-۵) الگوهای تشعشعی آنتن بدون پلارایزر در فرکانس ۲ گیگاهرتز..... ۱۲۴

(الف) صفحه E_Φ (ب) صفحه E_Θ (ج) صفحه E_Φ (د) صفحه E_Θ

شکل (۱۲-۵) الگوهای تشعشعی آنتن بدون پلارایزر در فرکانس ۱۰ گیگاهرتز..... ۱۲۵

(الف) صفحه E_Φ (ب) صفحه E_Θ (ج) صفحه E_Φ (د) صفحه E_Θ

شکل (۱۳-۵) الگوهای تشعشعی آنتن بدون پلارایزر در فرکانس ۱۴ گیگاهرتز..... ۱۲۶

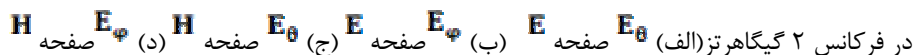
(الف) صفحه E_Φ (ب) صفحه E_Θ (ج) صفحه E_Φ (د) صفحه E_Θ

شکل (۱۴-۵) الگوهای تشعشعی آنتن بدون پلارایزر در فرکانس ۱۸ گیگاهرتز..... ۱۲۷

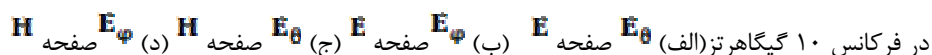
(الف) صفحه E_Φ (ب) صفحه E_Θ (ج) صفحه E_Φ (د) صفحه E_Θ

شکل (۱۵-۵) الگوی تشعشعی ۳ بعدی آنتن بدون پلارایزر در فرکانس میانی ۱۰ گیگاهرتز..... ۱۲۹

شکل (۱۶-۵) الگوهای تشعشعی آنتن با پلازایزر ۵ لایه با مشخصات جدول (۳-۵) ۱۳۱

در فرکانس ۲ گیگاهرتز(الف)  صفحه (ب) صفحه (ج) صفحه (د)

شکل (۱۷-۵) الگوهای تشعشعی آنتن با پلازایزر ۵ لایه با مشخصات جدول (۳-۵) ۱۳۲

در فرکانس ۱۰ گیگاهرتز(الف)  صفحه (ب) صفحه (ج) صفحه (د)

شکل (۱۸-۵) الگوهای تشعشعی آنتن با پلازایزر ۵ لایه با مشخصات جدول (۳-۵) ۱۳۳

در فرکانس ۱۴ گیگاهرتز(الف)  صفحه (ب) صفحه (ج) صفحه (د)

شکل (۱۹-۵) الگوهای تشعشعی آنتن با پلازایزر ۵ لایه با مشخصات جدول (۳-۵) ۱۳۴

در فرکانس ۱۸ گیگاهرتز(الف)  صفحه (ب) صفحه (ج) صفحه (د)

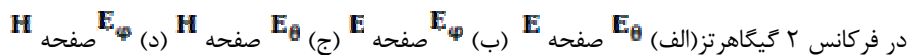
شکل (۲۰-۵) آنتن با پلازایزر ۵ لایه با مشخصات جدول (۳-۵) ۱۳۶

در باند فرکانسی ۲-۱۸ گیگاهرتز 

شکل (۲۱-۵) الگوی تشعشعی ۳ بعدی آنتن با پلازایزر ۵ لایه با مشخصات جدول (۳-۵) ۱۳۶

در فرکانس ۱۰ گیگاهرتز

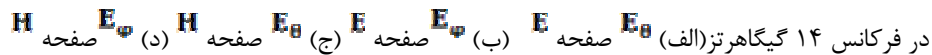
شکل (۲۲-۵) الگوهای تشعشعی آنتن با پلازایزر ۳ لایه با مشخصات جدول (۵-۵) ۱۳۸

در فرکانس ۲ گیگاهرتز(الف)  صفحه (ب) صفحه (ج) صفحه (د)

شکل (۲۳-۵) الگوهای تشعشعی آنتن با پلازایزر ۳ لایه با مشخصات جدول (۵-۵) ۱۳۹

در فرکانس ۱۰ گیگاهرتز(الف)  صفحه (ب) صفحه (ج) صفحه (د)

شکل (۲۴-۵) الگوهای تشعشعی آنتن با پلازایزر ۳ لایه با مشخصات جدول (۵-۵) ۱۴۰

در فرکانس ۱۴ گیگاهرتز(الف)  صفحه (ب) صفحه (ج) صفحه (د)

شکل (۲۵-۵) الگوهای تشعشعی آنتن با پلازایزر ۳ لایه با مشخصات جدول (۵-۵) ۱۴۱